

รายการอ้างอิง

- [1] ฝ่ายพัฒนาและแผนงานโครงการ (อพพ.). [Online]. Available from: http://www2.egat.co.th/re/egat_wind. การไฟฟ้าฝ่ายผลิตแห่งประเทศไทย [2011, Jan 6]
- [2] Zang, T.C. Initial Study of Using Rechargeable Batteries in Wind Power Generation with Variable Speed Induction Generators. IET Renewable Power Generation, 2, 2 (July 2007): 89-101.
- [3] นิพนธ์ เกตุจัจย์ และ อชิตพล ศศิธรานุวัฒน์. ที่คโนโลยีพลังงานลม. Naresuan University Journal (2004): 57-73.
- [4] Qi, W., Xiao-hu, C., Wan-min, F. and Yan-chao, J. Study of Brushless Doubly-fed Control for VSCF Wind Power Generation System Connected to Grid. Third International Conference on Electric Utility Deregulation and Restructuring and Power Technologies (April 2008): 2453 – 2458.
- [5] Song, L.P. and Li, H. Simulation for Strategy of Maximal Wind Energy Capture of Doubly Fed Induction Generators. Sixth International Conference on Natural Computation (ICNC) (August 2010), 4 : 2154 - 2158
- [6] The MathWorks, Inc. MATLAB & Simulink [Online]. 2010. Available from: <http://www.mathworks.com> [2010, December 12]
- [7] Chirapongsananurak, P. and Hoonchareon, N. Design of a Controller for DFIG-Based Wind Power Generation Using Model Predictive Control. Electrical Engineering/Electronics Computer Telecommunications and Information Technology (ECTI-CON) (May 2010) : 833 – 837.
- [8] Jiang,Z. ,and Yu X. Modeling and Control of an Integrated Wind Power Generation and Energy Storage System. Power & Energy Society Generation Meeting, IEEE (July 2009): 1 – 8.
- [9] Wu,F., Zhang, X.P., Godfrey, K., and Ju, P. Modeling and Control of Wind Turbine with Doubly Fed Induction Generator. Power Systems Conference and Exposition, IEEE PES (November 2006): 1404 – 1409.
- [10] Kundur, P. Power system stability and control. New York: McGraw-Hill, 1994.
- [11] Ackermann, T. Wind power in power system. Chichester: John Wiley & Sons,

2005.

- [12] Ong, C. Dynamic simulation of electric machinery using MATLAB/Simulink. New Jersey: Prentice Hall, 1997.
- [13] Mohan, N., Undeland, T. M., and Robbins, W. P. Power electronics: Converters, applications, and design. 3rd Edition. New York: John Wiley & Sons, 2003.
- [14] Bhadra, S. N., Kastha, D., and Banerjee, S. Wind electrical systems. New Delhi: Oxford University Press, 2005.
- [15] Bingchang Ni ,and Constantinos Sourkounis .Control Strategies for Energy Storage to Smooth Power Fluctuations of Wind Parks. MELECON, IEEE Mediterranean Electrotechnical Conference (April 2010): 973 – 978.
- [16] วัฒนพงษ์ รักชีวิเชียร และ นิพนธ์ เกตุจั้อย (2549) เอกสารประกอบรายวิชาระบบสะสมพลังงาน, วิทยาลัยพลังงานทดแทน, มหาวิทยาลัยแม่ฟ้าหลวง, พิษณุโลก.
- [17] Mukund, R. Patel. Wind and Solar Power Systems. United States of America: CRC Press LLC, 2000.
- [18] Isidor Buchmann.[Online]. Available from: <http://www.batteryuniversity.com>, [2010 November 13].
- [19] ขันติ ปานชิลิน. กังหันลมผลิตไฟฟ้าสำหรับบ้านพักอาศัย. พิมพ์ครั้งที่ 1. กรุงเทพมหานคร: สมมิตรเครื่องกล, 2551.
- [20] ดร. โคทมารียา. อิเล็กทรอนิกส์กำลัง 1-2. กรุงเทพมหานคร: ชีเอ็คยูเคชั่น, 2544.
- [21] Acha, E., Agelidis, V.G., Anaya-Lara, O., and Miller, T.J.E. Power Electronic Control in Electrical Systems. Oxford: Newnes, 2002.
- [22] Chan, H.L., and Sutanto, D. A New Battery Model for use with Battery Energy Storage Systems and Electric Vehicles Power Systems. Power Engineering Society Winter Meeting, IEEE, 1 (January 2000): 470 – 475.
- [23] Ziyad, M., Salameh Margaret, A. and Casacca William A. Lynch. A Mathematical Model for Lead-Acid Batteries. IEEE Transactions on Energy Conversion (March 1992) : 93 – 98.
- [24] Margaret A. Casacca and Ziyad M. Salameh. Determination of Lead-Acid Battery Capacity Via Mathematical Modeling Techniques. IEEE Transactions on Energy Conversion (September 1992): 442 – 446.
- [25] Janthanramin, N., and Zhang, L. A New Dynamic Model for Lead-Acid Batteries.

Power Electronics, Machines and Drives, IET (April 2008): 86-90.

- [26] จุฬาลงกรณ์มหาวิทยาลัย (สถาบันวิจัยพลังงาน). รายงานฉบับที่ 3 โครงการเพิ่มความ
เชื่อถือได้ของระบบไฟฟาระยะที่ 3 เสนอ การไฟฟ้าส่วนภูมิภาค (ตุลาคม 2552).
- [27] Rolls UK & Europe is a division of Barden UK Ltd. [Online]. Available from:
<http://www.rolls-battery.com/pdf/S12-290AGM.pdf> [2011 February 14]

ภาคผนวก

ภาคผนวก ก
ข้อมูลความเร็วลม

ตาราง ก.1 ความเร็วลมเฉลี่ยในแต่ละเดือนในปี 2005 วัดที่แหลมพรหมเทพ จังหวัดภูเก็ต

เดือน	ความเร็วลม (m/s)	เดือน	ความเร็วลม (m/s)
มกราคม	6.03	กรกฎาคม	7.38
กุมภาพันธ์	4.80	สิงหาคม	6.39
มีนาคม	5.22	กันยายน	6.48
เมษายน	4.00	ตุลาคม	4.74
พฤษภาคม	5.24	พฤศจิกายน	4.21
มิถุนายน	7.08	ธันวาคม	5.64

ตาราง ก.2 ความเร็วลมเฉลี่ยรายชั่วโมงในแต่ละฤดู

ชั่วโมง	ความเร็วลมในแต่ละฤดู (m/s)		
	ฤดูหนาว	ฤดูร้อน	ฤดูฝน
1	5.023097	5.361823	6.114633
2	5.333031	5.107254	6.230987
3	5.021410	5.380161	5.665252
4	5.191660	5.411383	6.046494
5	5.002902	5.040668	6.354089
6	5.235122	5.393733	6.280955
7	5.291449	5.528281	6.035546
8	5.085919	5.365979	6.286418
9	5.652379	5.101217	6.325065
10	4.775389	5.56653	6.429313
11	5.317346	5.255554	6.083991
12	5.075287	5.178833	6.753120
13	5.273727	5.328746	6.135622
14	5.708895	5.183230	6.521348

ចំណាំ	គ្រាមីនុលំនិងពេលវេលា (m/s)		
	រូបឃាត	រូបីនុលំ	រូបីនុល់
15	5.356315	5.382313	6.146731
16	5.289101	5.634856	6.340065
17	5.087979	5.004967	6.417576
18	5.130245	5.495877	5.953362
19	5.069434	5.347554	6.536653
20	5.235235	5.169870	5.987508
21	5.197467	5.354199	6.219599
22	4.733282	5.349153	6.357155
23	5.177131	5.494930	6.298403
24	4.965493	5.367475	6.398169

ตาราง ก.3 រាជធានីគ្រាមីនុលំនិងការផលិតការសំណង់ផ្លូវ

រាជធានីគ្រាមីនុលំ	គ្រាមីនុលំ (m/s)
គ្រាមីនុលំខ្លោចប្រប (Cut-in Speed)	3.5
គ្រាមីនុលំពិស់ (Nominal or Rated Wind Speed)	13
គ្រាមីនុលំចំណុច (Cut-out Wind Speed)	25

ภาคผนวก ข

ข้อมูลระบบผลิตไฟฟ้าพลังงานลมและการควบคุมเครื่องกำเนิดไฟฟ้า

ในภาคผนวกนี้จะนำเสนอข้อมูลของเครื่องกำเนิดไฟฟ้าเหนี่ยวนำส่องทาง และตัวควบคุมที่ใช้ระบบผลิตไฟฟ้าจากพลังงานลม โดยข้อมูลค่าพิกัดของเครื่องกำเนิดไฟฟ้าเหนี่ยวนำส่องทาง และค่อนเวอร์เตอร์มีค่าตามตาราง ข.1 ส่วนค่าตัวแปรของเครื่องกำเนิดไฟฟ้าเหนี่ยวนำส่องทางจะแสดงในตารางที่ ข.2

ในส่วนของค่าเริ่มต้นของจุดทำงานและค่าสัญญาณอ้างอิงของการควบคุมของระบบผลิตไฟฟ้าจากพลังงานลมจะมีค่าตามตาราง ข.3 และ ข.4 ตามลำดับ สุดท้ายคือค่าตัวแปรควบคุมต่างๆ ได้แก่ ตัวควบคุมมุมพิชของใบพัดกังหันลม ตัวควบคุมกำลังไฟฟ้าจริงที่จ่ายออกจากสเตเตอร์ ตัวควบคุมแรงดันที่เครื่องกำเนิดไฟฟ้า ตัวควบคุมกระแสไฟฟ้าที่ให้หลักในขาดลวดโรเตอร์ ตัวควบคุมแรงดันไฟตรงในค่อนเวอร์เตอร์ และตัวควบคุมกระแสไฟฟ้าที่ให้หลักในวงจรกรองที่กริด จะแสดงในตารางที่ ข.1 ถึง ข.10 ตามลำดับ

ตารางที่ ข.1 ข้อมูลค่าพิกัดของเครื่องกำเนิดไฟฟ้าเหนี่ยวนำส่องทางและค่อนเวอร์เตอร์

กำลังไฟฟ้าพิกัดของเครื่องกำเนิดไฟฟ้า	2 MVA
แรงดันพิกัดของเครื่องกำเนิดไฟฟ้า	22 kV
ความถี่ของจุดทำงานของเครื่องกำเนิดไฟฟ้า	50 Hz
กำลังไฟฟ้าพิกัดของค่อนเวอร์เตอร์	1 MVA

ตารางที่ ข.2 ค่าของตัวแปรในเครื่องกำเนิดไฟฟ้าเหนี่ยวนำส่องทาง

ตัวแปรในเครื่องกำเนิดไฟฟ้า DFIG	ค่าของตัวแปร	หน่วย
R_s	0.00706	p.u
L_s	3.071	p.u
R_r	0.005	p.u
L_s	3.056	p.u
R_g	0.0015	p.u
L_g	0.15	p.u
L_m	2.9	p.u

ตารางที่ ข.8 ตัวแปรควบคุมกระแสไฟฟ้าที่ให้ในขนาดลดโลเดอร์

ตัวแปรควบคุม	ค่าการควบคุม	หน่วย
K_{p,I_r}	0.3	p.u
K_{i,I_r}	8	p.u

ตารางที่ ข.9 ตัวแปรควบคุมแรงดันไฟตรงในคอนเวอร์เตอร์

ตัวแปรควบคุม	ค่าการควบคุม	หน่วย
$K_{p,V_{dc}}$	10	p.u
$K_{i,V_{dc}}$	100	p.u

ตารางที่ ข.10 ตัวแปรควบคุมกระแสไฟฟ้าที่ให้ในวงจรกรองที่กริด

ตัวแปรควบคุม	ค่าการควบคุม	หน่วย
K_{p,I_g}	1	p.u
K_{i,I_g}	100	p.u

ภาคผนวก ง
ข้อมูลที่ใช้ในการคำนวณความจุเบตเตอร์

ในภาคผนวกนี้จะนำเสนอดังข้อดังต่อไปนี้ ที่ใช้ในการคำนวณความจุเบตเตอร์ โดยในตาราง
 ง.1 และ ง.2 จะแสดงข้อมูลการอัดและคายประจุของเบตเตอร์ของบริษัท Rolls รุ่น S12-290AGM
 ตามลำดับ และจะมีการประมาณกราฟเพื่อนำมาสมการเพื่อใช้ในการคำนวณค่าสัมประสิทธิ์คง
 ตัวเบตเตอร์ ในเบตเตอร์ และสุดท้ายในตาราง ง.3 จะแสดงค่าเริ่มต้นที่ใช้ในการคำนวณ

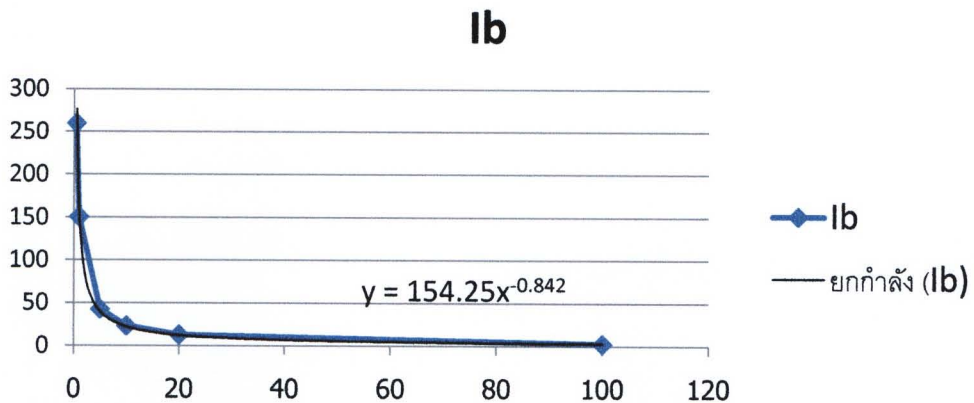
ตาราง ง.1 ข้อมูลการอัดประจุของเบตเตอร์ของบริษัท Rolls รุ่น S12-290AGM

เวลาที่ใช้ (ชั่วโมง)	แรงดันที่ข้าวเบตเตอร์ (โวลต์)	ประจุของเบตเตอร์ (แอม培ร์-ชั่วโมง)	กระแสอัดประจุ (แอม培ร์)
5	10.2	214	42.8
10	10.5	234	23.4
20	10.5	260	13
100	13.6	290	2.9

ตาราง ง.2 ข้อมูลการคายประจุของเบตเตอร์ของบริษัท Rolls รุ่น S12-290AGM

เวลาที่ใช้ (ชั่วโมง)	แรงดันที่ข้าวเบตเตอร์ (โวลต์)	ประจุของเบตเตอร์ (แอม培ร์-ชั่วโมง)	กระแสคายประจุ (แอม培ร์)
0.5	9.6	130	260
1	9.6	151	151
5	10.2	214	42.8
10	10.5	234	23.4
20	10.5	260	13
100	13.6	290	2.9

แต่เนื่องจากจำนวนข้อมูลที่มีอยู่น้อยกว่าจำนวนตัวแปรที่ต้องการหา จึงต้องมีการกำหนด
 จุดเพิ่ม โดยนำกระแสอัดหรือคายประจุ และเวลาที่ใช้ อัดหรือคายประจุมาสร้างกราฟ และ
 ประมาณสมการ เพื่อประมาณจุดเวลาและค่ากระแสเพิ่ม ดังรูปที่ ง.1



รูปที่ 1 กราฟความสัมพันธ์ระหว่างกระแสและเวลาจากข้อมูลที่มีอยู่

จะเห็นว่าสามารถประมาณกราฟได้เป็นกราฟยกกำลังมีสมการดังนี้

$$I_b = 154.25 \times t^{-0.842} \quad (4.1)$$

โดยที่

- I_b คือ กระแสอัดหรือคายประจุ
 t คือ เวลาในการอัดหรือคายประจุ มีหน่วยเป็นชั่วโมง

โดยในที่นี้จะสมมติจุดที่เวลา 15 ชั่วโมง ซึ่งจะใช้ได้ทั้งในช่วงการอัดประจุและคายประจุ ซึ่งเท่ากับได้จุดเพิ่มอีก 2 จุด ส่งผลให้การประมาณจุดเพิ่มนี้จะทำให้ได้จำนวนข้อมูลเท่ากับจำนวนตัวแปรพอดี

ตาราง ง.3 ค่าเริ่มต้นในการคำนวณความจุของแบตเตอรี่

ตัวแปรเริ่มต้น	ค่าที่ใช้	หน่วย
$C_{n,0}$	100	Ah
$SOC_{0,ch}$	0	%
$SOC_{0,dch}$	100	%
SOC_{min}	30	%
SOC_{max}	100	%

ประวัติผู้เขียนวิทยานิพนธ์

นางสาวอัญชลี ประภัสสรพิทaya เกิดวันที่ 6 กุมภาพันธ์ พ.ศ. 2530 ที่กรุงเทพมหานคร
สำเร็จการศึกษาปริญญาวิศวกรรมศาสตรบัณฑิต สาขาวิชาวิศวกรรมไฟฟ้า ภาควิชา
วิศวกรรมไฟฟ้า คณะวิศวกรรมศาสตร์ จุฬาลงกรณ์มหาวิทยาลัย เมื่อปี พ.ศ. 2551 และได้เข้า
ศึกษาต่อในหลักสูตรวิศวกรรมศาสตรบัณฑิต สาขาวิชาวิศวกรรมไฟฟ้ากำลัง ภาควิชา
วิศวกรรมไฟฟ้า คณะวิศวกรรมศาสตร์ ที่จุฬาลงกรณ์มหาวิทยาลัย ในปี พ.ศ. 2552



